

# 从对称矩阵谈起

陈木法

(北京师范大学)

四川大学数学学院

2018 年 7 月 13 日

# 0. 问题

哪种矩阵的特征值都是实数?

实对称矩阵.

更大的类: 相似阵. 存在实非异  $H$ :

$B = HAH^{-1}$ .  $B$ : 实对角阵.

接地气?  $H = ?$

# 0. 问题

哪种矩阵的特征值都是实数?

实对称矩阵.

更大的类: 相似阵. 存在实非异  $H$ :

$B = HAH^{-1}$ .  $B$ : 实对角阵.

接地气?  $H = ?$

注:

$$Ag = \lambda g \Rightarrow [H A H^{-1}](Hg) = \lambda(Hg)$$

$$(A + mI)g = \lambda g \Rightarrow Ag = (\lambda - m)g$$

# 例. 生灭 $Q$ 矩阵

三对角矩阵:  $E = \{k \in \mathbb{Z}_+: 0 \leq k < N+1\}$

$$Q = \begin{pmatrix} -c_0 & b_0 & & & & & 0 \\ a_1 & -c_1 & b_1 & & & & \\ & a_2 & -c_2 & b_2 & & & \\ & & \ddots & \ddots & \ddots & & \\ & 0 & & & a_N & -c_N & \end{pmatrix},$$

此处  $a_k > 0, b_k > 0, c_k = a_k + b_k, c_N \geq a_N$ .

# 例. 生灭 $Q$ 矩阵

最重要的一类随机过程—生灭过程.  
有极广泛应用, 理论研究起点, 根据地  
最长文章[137 页; 2010]. 含  $(c_k)$ : 2014.  
综述报告.

C.(2016). “Unified speed estimation of various stabilities”, Chin. Appl. Prob.

Statis. 2016, 32(1): 1–22

$$1 \leq \delta_1'^{-1} / \delta_1^{-1} \leq 2$$

$$(4\delta)^{-1} \leq \delta_n^{-1} \uparrow \leq \lambda_0(-Q) \leq \downarrow \delta_n'^{-1} \leq \delta^{-1}, \forall n$$

# 生灭 $Q$ 矩阵可配称[与对角元无关]

$Q$  对称:  $a_{k+1} = b_k$ .

$a_{k+1}$  与  $b_k$  可不同, 但同为正.

定义  $(\mu_k)$ :  $\mu_0 = 1$ ,  
$$\mu_k = \mu_{k-1} \frac{b_{k-1}}{a_k}.$$

则  $\mu_k a_k = \mu_{k-1} b_{k-1}$ . 改记  $Q = (q_{ij})$

则  $\mu_k q_{k,k-1} = \mu_{k-1} q_{k-1,k}$ . 等价地

$\mu_i q_{ij} = \mu_j q_{ji}$ .  $m_{ij} := \mu_i q_{ij}$ ,

$Q$  非对称但  $(m_{ij})$  对称.

# 1. 概率. 可配称 $Q$ 矩阵. $E = \{i, j, \dots\}$

$Q$  矩阵: 非对角线元素非负, 行和  $\leq 0$

$\exists (\mu_k > 0)$  使得  $\mu_i q_{ij} = \mu_j q_{ji}, i, j \in E.$

矩阵形式:  $\text{Diag}(\mu)Q = Q^* \text{Diag}(\mu)$

$\hat{Q} := \text{Diag}(\mu)^{1/2}Q \text{Diag}(\mu)^{-1/2},$

对称  $\Rightarrow$  实谱

零同性:

$Q$  与  $\hat{Q}$  同谱  $\Rightarrow$  实谱

$q_{ij} > 0 \Leftrightarrow q_{ji} > 0$

$\mu_k \equiv 1 \Rightarrow$  可配称 = 对称.

$\mu_k \not\equiv 1 \Rightarrow$  可配称  $\supset$  部分 对称.

有势场. 路  $i_0 \rightarrow i_1 \rightarrow \dots \rightarrow i_n$ ,  $q_{i_k, i_{k+1}} > 0$

$$\mu_{i_0} \frac{q_{i_0 i_1}}{q_{i_1 i_0}} = \mu_{i_1}$$

Schrödinger<sup>1931</sup>. 学、做

$$\mu_{i_0} \frac{q_{i_0 i_1}}{q_{i_1 i_0}} \cdot \frac{q_{i_1 i_2}}{q_{i_2 i_1}} = \mu_{i_1} \frac{q_{i_1 i_2}}{q_{i_2 i_1}} = \mu_{i_2}$$

$$\mu_{i_0} \frac{q_{i_0 i_1}}{q_{i_1 i_0}} \frac{q_{i_1 i_2}}{q_{i_2 i_1}} \dots \frac{q_{i_{n-1} i_n}}{q_{i_n i_{n-1}}} = \mu_{i_n} \boxed{i_n = i_0?}$$

Kolmogorov 圈形定理 (1936): 对每一  
闭路  $i_0 \rightarrow i_1 \rightarrow \dots \rightarrow i_{n-1} \rightarrow i_n = i_0$ ,

$$q_{i_0 i_1} q_{i_1 i_2} \dots q_{i_{n-1} i_0} = q_{i_0 i_{n-1}} q_{i_{n-1} i_{n-2}} \dots q_{i_1 i_0}$$

# 有势场

$$\sum_{k=0}^{n-1} \log \frac{q_{i_k i_{k+1}}}{q_{i_{k+1} i_k}} = \log \frac{\mu_{i_n}}{\mu_{i_0}} = \log \mu_{i_n} - \log \mu_{i_0}$$

路  $i_0 \rightarrow i_1 \rightarrow \dots \rightarrow i_n$ .

参考点  $\mu_{i_0} = 1$

沿  $i_k \rightarrow i_{k+1}$  所做的功:

$$w_{i_k i_{k+1}} = \log \frac{q_{i_k i_{k+1}}}{q_{i_{k+1} i_k}}$$

既约分数

在  $i_k$  处的势(能):  $V_{i_k} = \log \mu_{i_k}$ .

$$\sum_{k=0}^{n-1} w_{i_k i_{k+1}} = V_{i_n} - V_{i_0}.$$

# 有势场

上式左方: 场沿路

$i_0 \rightarrow i_1 \rightarrow \dots \rightarrow i_n$  所做的功.

右方: 在  $i_n$  处和  $i_0$  处的势差.

路径无关性

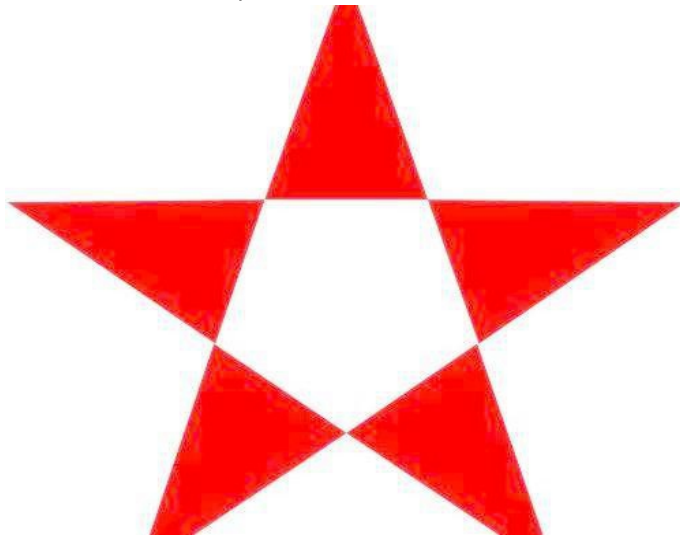
$$i_n = i_0$$

$\Leftrightarrow$  沿每一闭路所做的功为零

$\Rightarrow$  计算( $\mu_k$ ).

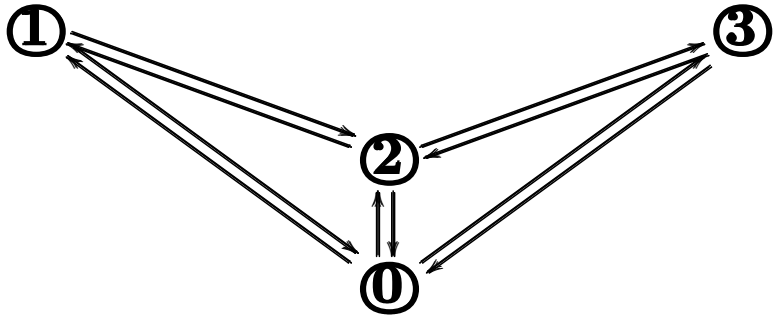
“每一闭路”的可行性?

以五角星为例, 闭路可能有很多.



一个场成为势场(等价地, 相应的  $Q$  矩阵可配称)的充要条件是它满足零同性, 而且沿每一闭路(等价地, 非往返最小闭路)所做的功为零. 此时配称测度 ( $\mu_k$ ) 可用势函数表出.

“马尔科夫过程与场论”, 收入钱敏、侯振挺等 (1979):《可逆马尔科夫过程》. 古典分析场论+图上作业法 **遗憾**



$$w(0 \rightarrow 3 \rightarrow 2 \rightarrow 0) = 0, \quad w(0 \rightarrow 2 \rightarrow 1 \rightarrow 0) = 0,$$

$$w(0 \rightarrow 3 \rightarrow 2 \rightarrow 0 \rightarrow 2 \rightarrow 1 \rightarrow 0) = 0,$$

$$w(0 \rightarrow 3 \rightarrow 2 \rightarrow 1 \rightarrow 0) = 0.$$

**往返路**  $w(2 \rightarrow 0 \rightarrow 2) = \log \frac{a_{20}}{a_{02}} + \log \frac{a_{02}}{a_{20}} = 0.$

## 2 统计物理

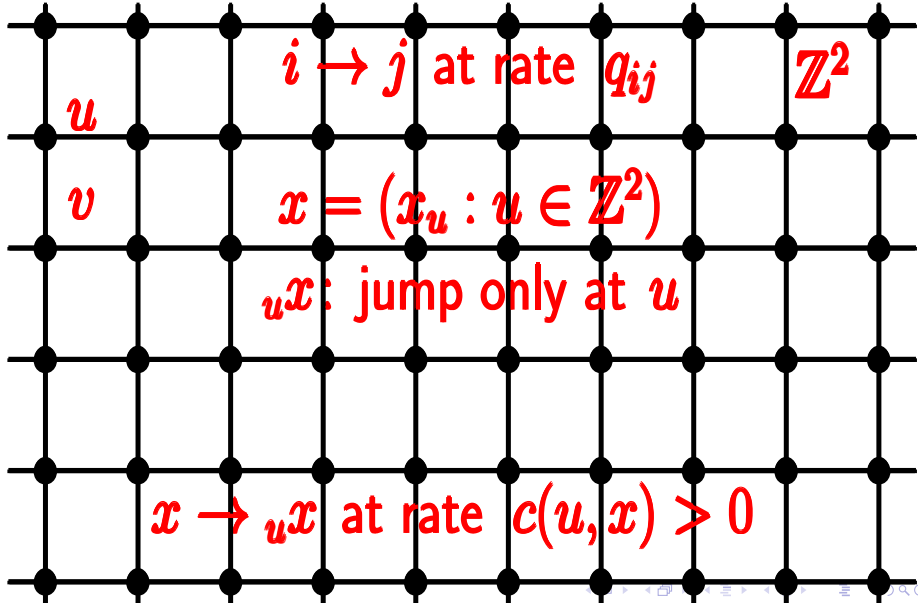
矩阵  $Q = (q_{ij})$ :  $i \rightarrow j$  的速率  $q_{ij}$ . 图  
结构. 三对角阵:  $k - 1 \xleftarrow[a_k]{} k \xrightarrow[b_k]{} k + 1$

## 2 统计物理

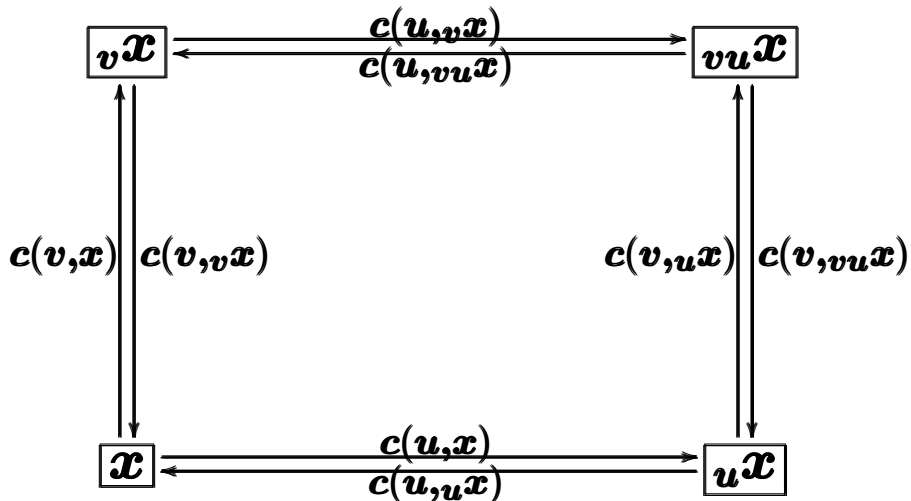
矩阵  $Q = (q_{ij})$ :  $i \rightarrow j$  的速率  $q_{ij}$ . 图  
结构. 三对角阵:  $k-1 \leftarrow k \xrightarrow[a_k]{b_k} k+1$

40 多年前, 部分数学家离开公理化路线, 回归自然. 开始探索统计力学的数学基础, 形成随机场的概率与统计物理的交叉学科. 平衡态与非平衡态.  
严士健, 陈& 丁万鼎 (1982a, b), 唐守正(1982), 李世取(1983), 曾文曲等

自旋空间  $\{-1, +1\}$ ,  $E = \{-1, +1\}^{\mathbb{Z}^d}$



# 自旋系统的四边形条件



1982→1987, H. Rost. 1'st. RD 过程

Theorem (陈 (2004); 定理 11.2(1))

以有限集  $S$  代替  $\mathbb{Z}^d$ . 则此自旋系统属平衡态当且仅当下述**四边形条件**成立

$$\begin{aligned} & c(u, x)c(v, {}_ux)c(u, {}_{uv}x))c(v, {}_vx) \\ &= c(v, x)c(u, {}_vx)c(v, {}_{vu}x))c(u, {}_ux), \\ & u, v \in S, \quad x = (x_u : u \in S). \end{aligned}$$

结论对于  $\mathbb{Z}^d$  也对, 此时闭路有无穷多

著名的 Ising 模型.  $\{-1, +1\}^{\mathbb{Z}^d}$

$$c(u, x) = \exp \left[ -\beta \sum_{v: |u-v|=1} x_u x_v \right], \quad \beta \geq 0.$$

当  $d = 2$  时, 我们有

$$\beta_c^{(2)} \approx 0.44$$

$$|\mathcal{I}| = 1, \text{ 若 } \beta < \frac{1}{2} \log (1 + \sqrt{2}) =: \beta_c^{(2)}$$

$$|\mathcal{I}| > 1, \text{ 若 } \beta > \frac{1}{2} \log (1 + \sqrt{2}).$$

当  $d \geq 3$  时,  $\beta_c^{(d)} = ?$

# 非平衡统计物理. 反应扩散过程[陈1985]

非局部紧空间  $\mathbb{Z}_+^{\mathbb{Z}^d}$ . 16 种典型模型.  
较系统的理论.

C. "From Markov Chains to  
Nonequilibrium Particle Systems",  
1<sup>st</sup> 1992; 2<sup>nd</sup> 2004. World Sci, Singapore

场论  $\Rightarrow$  区分平衡态与非平衡态模型

探索非平衡态统计物理的数学基础  
发展或开发出新的数学工具

非对角线非负的实方阵→复方阵

(实)对称 (symmetric)  $\Rightarrow$  实谱,

复对称阵谱不必实的, 如

$$A = \begin{pmatrix} 0 & i \\ i & 0 \end{pmatrix}, \quad \lambda = \pm i.$$

(实)对称  $\rightarrow$  Hermite:  $a_{ij} = \bar{a}_{ji} \Rightarrow$  实谱. 如

$$A = \begin{pmatrix} 0 & i \\ -i & 0 \end{pmatrix}, \quad \lambda = \pm 1.$$

### 3 复可配称矩阵. 意义: 代数, 量子力学

(实)可配称 (symmetrizable),

$$\exists (\mu_k > 0): \mu_i a_{ij} = \mu_j a_{ji}, \quad i, j \in E$$

复可配称 (Hermitizable)  $a_{ii}$  为实]

$$\exists (\mu_k > 0): \mu_i a_{ij} = \mu_j \bar{a}_{ji}, \quad i, j \in E$$

矩阵  $A = (a_{ij})$  复可配称的必要条件:

- 零同性: 对于任意的  $i, j$ ,

$$a_{ij} = 0 \Leftrightarrow a_{ji} = 0.$$

- 正比值: 如  $a_{ji} \neq 0$ , 则  $a_{ij}/\bar{a}_{ji} > 0$ .

### 3 复可配称矩阵(Complex symmetrizable)

Theorem (陈(2018))

复矩阵  $A = (a_{ij})$  复可配称的充要条件是下述两条件同时成立.

- 对于任意的  $i, j$ , 或者  $a_{ij}$  和  $a_{ji}$  同时为零, 或者  $a_{ij}a_{ji} > 0$ .
- 它所导出的场是有势场(即沿任一闭路(**最小闭路**) 所做的功为零).

$$w(2 \rightarrow 0 \rightarrow 2) = \log \frac{a_{20}}{\bar{a}_{02}} + \log \frac{\textcolor{red}{a_{02}}}{\bar{a}_{20}} = 0.$$

# 三对角复矩阵: $A \sim (a_k, -c_k, b_k)$

Theorem

三对角复矩阵  $A \sim (a_k, -c_k, b_k)$  复可配称的充要条件是下述两条件同时成立.

- $(c_k)$  为实的.
- 或  $a_{i+1}$  和  $b_i$  同时为零, 或  $a_{i+1}b_i > 0$ .

注  $a_{i+1}$  和  $b_i$  同时为零, 则此矩阵可分块处理.  
故常省略此条件.

$a_{i+1}b_i > 0 \Rightarrow \frac{b_i}{a_{i+1}} > 0$ . 如  $\bar{a}_{i+1} \neq 0$ , 反隐含也对

# 复可配称矩阵有实谱

复可配称:  $\exists (\mu_k)$ , 使得  $\mu_i a_{ij} = \mu_j \bar{a}_{ji} \quad \forall i, j.$

$\text{Diag}(\mu)A = A^H \text{Diag}(\mu), \quad A^H := \bar{A}^*.$

$A = \text{Diag}(\mu)^{-1} A^H \text{Diag}(\mu).$

$A$  等谱于  $A^H$ , 后者等谱于  $\bar{A}$

(因为  $A^*$  等谱于  $A$ )

$\implies A$  有实谱

复可配称  $\supset$  实可配称  $\supset$  对称

# 复可配称矩阵之例

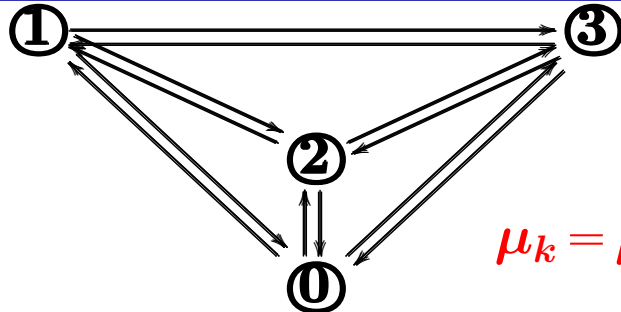
$$A = \begin{bmatrix} -6 & \frac{8 - 6i}{55} & \frac{8 + 14i}{-5 + 40i} & \frac{18 + 4i}{30 + 35i} \\ \frac{3 + 9i}{12 - 21i} & \frac{-4 - 32i}{13} & \frac{13}{-13} & \frac{17}{60 - 66i} \\ \frac{63 - 14i}{10} & \frac{84 - 98i}{15} & \frac{70 + 77i}{13} & \frac{17}{-16} \end{bmatrix}$$

复可配称, 从而有**实特征值**:

$$-21.3806, -17.7581, -9.44576, -.165558.$$

配称测度  $\mu$ :  $\mu_0 = 1$ ,  $\mu_1 = \frac{8}{15}$ ,  $\mu_2 = \frac{10}{39}$ ,  $\mu_3 = \frac{20}{119}$ .

# 复可配称矩阵之例



$$r_{ij} = \frac{a_{ij}}{\bar{a}_{ji}},$$

$$\mu_0 = 1,$$

$$\mu_k = \mu_{k-1} r_{k-1,k}$$

$$r_{01} = \frac{8}{15}, \quad r_{12} = \frac{25}{52}, \quad r_{20} = \frac{39}{10},$$
$$r_{03} = \frac{20}{119}, \quad r_{32} = \frac{119}{78}, \quad r_{31} = \frac{238}{75}.$$

# 复可配称三对角矩阵的等谱变换

Theorem (Algorithm)

假定  $c_k \geq |a_k| + |b_k|$ , 并设  $u_k = a_k b_{k-1}$  及  $\tilde{c}_k = c_k$ ,  $0 \leq k < N+1$ . 定义  $\tilde{b}_0 = c_0 > 0$ ,

$$\left\{ \begin{array}{l} \tilde{b}_k = c_k - u_k / \tilde{b}_{k-1}, \quad \tilde{a}_k = c_k - \tilde{b}_k, \\ \quad 1 \leq k < N \end{array} \right.$$

$$\left\{ \begin{array}{l} \tilde{a}_N = u_N / \tilde{b}_{N-1} \text{ 如 } N < \infty. \end{array} \right.$$

则  $\tilde{a}_k, \tilde{b}_k > 0$ ;  $c_N \geq |a_N|$  如  $N < \infty$ .

$A \sim (a_k, -c_k, b_k)$  等谱于  $\tilde{A} \sim (\tilde{a}_k, -\tilde{c}_k, \tilde{b}_k)$ .

$$\tilde{b}_k = \text{显式 } u_k = a_k b_{k-1} = |a_k b_{k-1}|$$

$$c_k - \frac{u_k}{u_{k-1}}$$

$$c_{k-1} - \frac{u_{k-2}}{u_{k-1}}$$

$$c_{k-2} - \frac{u_{k-2}}{u_{k-1}}$$

$$\dots c_2 - \frac{u_2}{u_1}$$

$$c_1 - \frac{u_1}{c_0}$$

$$\tilde{a}_k = c_k - \tilde{b}_k, \quad k < N; \quad \tilde{a}_N = u_N / \tilde{b}_{N-1}.$$

## 4 最大特征对子的计算

$$E = \{k \in \mathbb{Z}_+ : 0 \leq k < N + 1\}.$$

$$Q = \begin{pmatrix} -3 & 2 & & & 0 \\ 1 & -3 & 2 & & \\ & 1 & -3 & 2 & \\ & & \ddots & \ddots & \ddots \\ 0 & & & 1 & -3 \end{pmatrix},$$

$$\lambda_0 + 3 = 2\sqrt{2} \cos \frac{2\pi}{N+2}$$

$$g_0(j) = 2^{-(j+1)/2} \sin \frac{(j+1)\pi}{N+2}, \quad j \in E.$$

# 算法

给定初值  $(v_0, z_0) \approx (g_0, \lambda_0(-Q))$ .

当  $k \geq 1$  时, 已有  $(v_{k-1}, z_{k-1})$ .

命  $w_k$  为下述线性方程的解

$$(-\tilde{Q} - z_{k-1}I)w_k = v_{k-1}.$$

再命  $v_k = w_k/\|w_k\|$ ,  $z_k = \delta_k^{-1}$

则  $(v_k, z_k) \rightarrow (\tilde{g}_0, \lambda_0(-Q))$ ,  $k \rightarrow \infty$ .

# 等谱变换 第 $k (< N)$ 行和为零

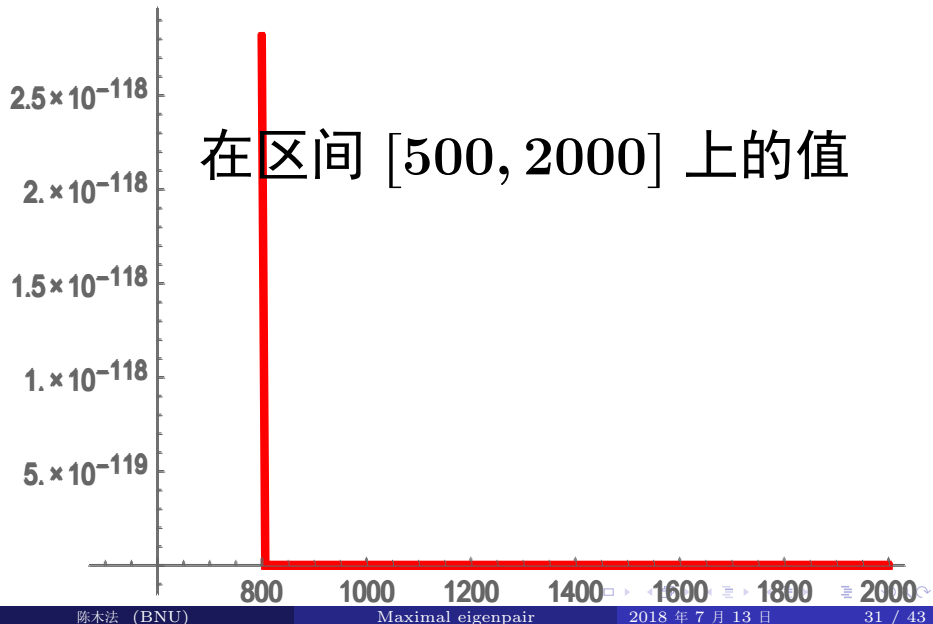
$$E = \{k \in \mathbb{Z}_+ : 0 \leq k < N + 1\}.$$

$$\tilde{Q} = \begin{pmatrix} -3 & \frac{2^2-1}{2-1} & & & 0 \\ \frac{2^2-2}{2^2-1} & -3 & \frac{2^3-1}{2^2-1} & & \\ & \frac{2^3-2}{2^3-1} & -3 & \frac{2^4-1}{2^3-1} & \\ & & \ddots & \ddots & \\ 0 & & & \frac{2^{N+1}-2}{2^{N+1}-1} & -3 \end{pmatrix},$$

$$\lambda_0 + 3 = 2\sqrt{2} \cos \frac{2\pi}{N+2} \approx 2.82843, \quad N \geq 2562$$

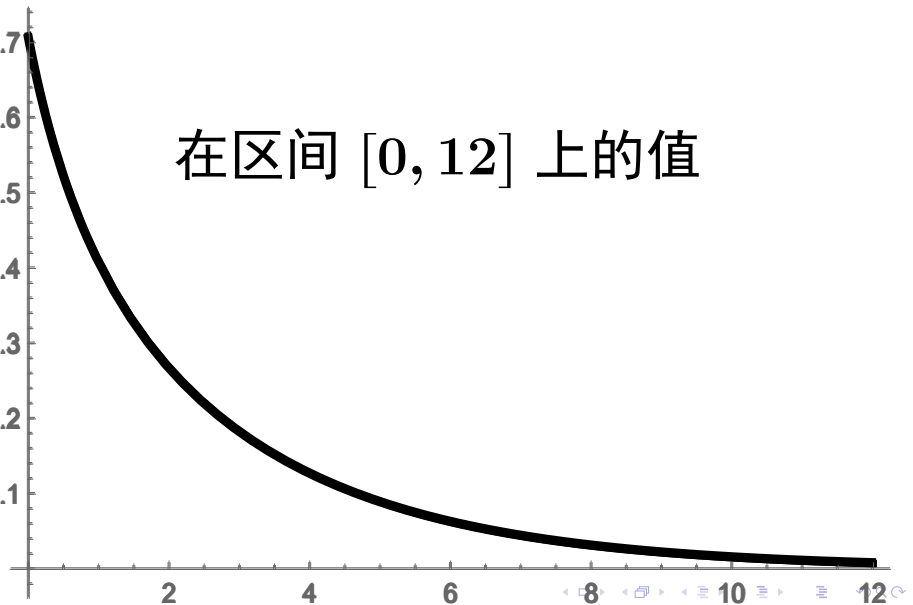
# 使用 $\tilde{Q}$ 计算的初向量 下降极快

在区间  $[500, 2000]$  上的值

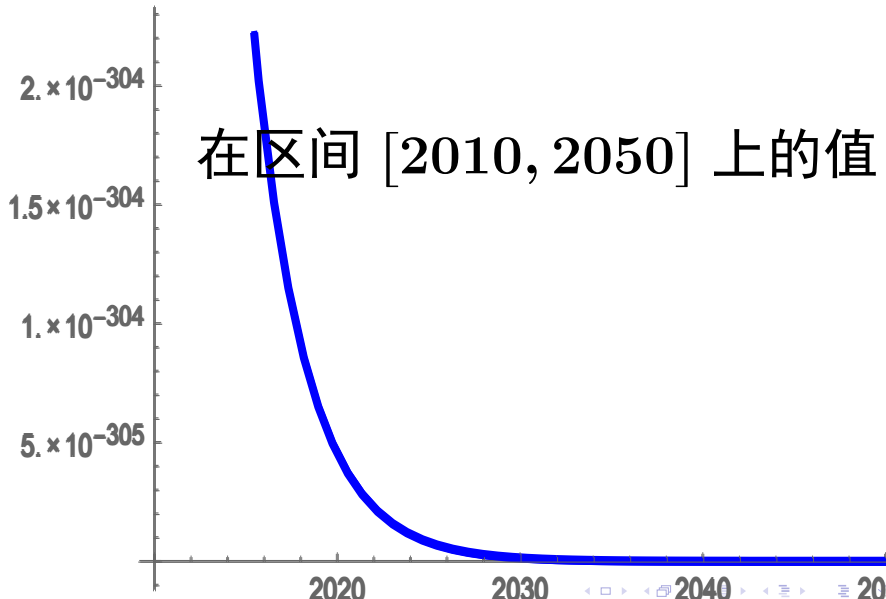


使用  $\tilde{Q}$  计算的初向量 下降很快 0.7 ↓

在区间  $[0, 12]$  上的值



使用  $\tilde{Q}$  计算的初向量 下降极快 0.7 ↓



# $\tilde{Q}$ 的对称化 $\hat{Q}$

$$\hat{Q} = \begin{pmatrix} -3 & \sqrt{2} & & & 0 \\ \sqrt{2} & -3 & \sqrt{2} & & \\ & \sqrt{2} & -3 & \sqrt{2} & \\ & & \ddots & \ddots & \ddots \\ 0 & & & \sqrt{2} & -3 \end{pmatrix},$$

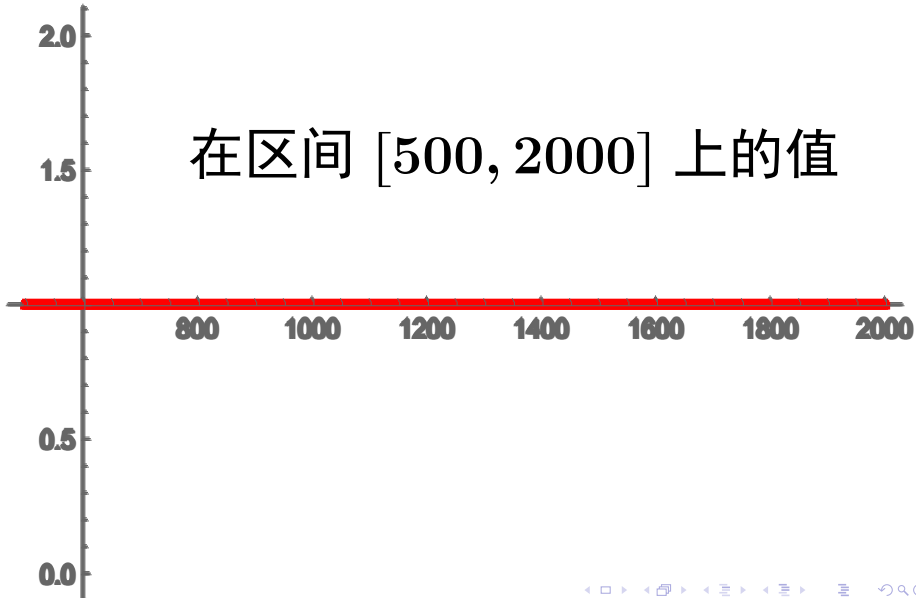
每一行都非保守, 功夫全废. 等谱变换  $\Rightarrow$  非对称. 陷入循环.

# $\tilde{Q}$ 的对称化 $\hat{Q}$

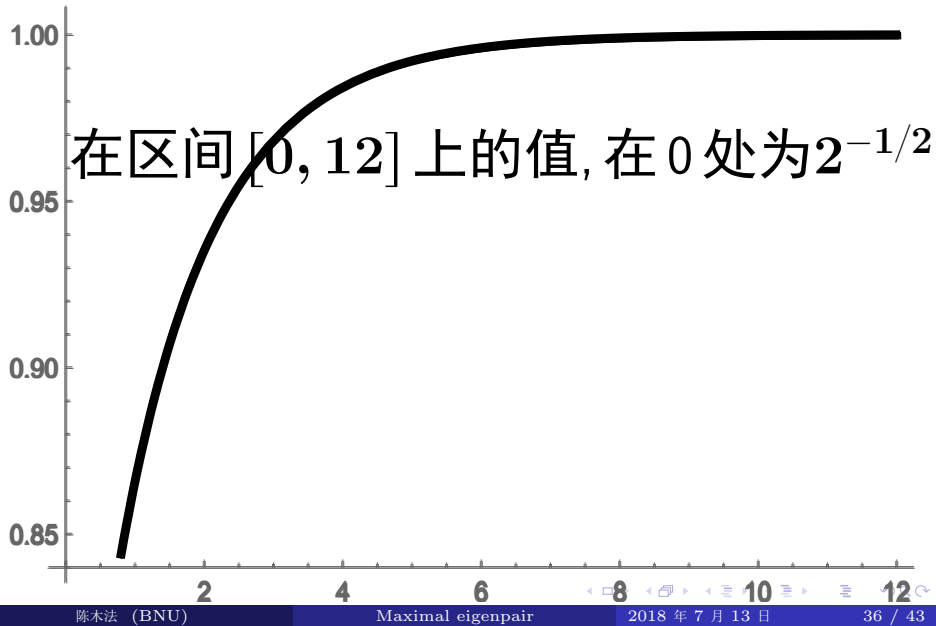
$$\hat{Q} = \begin{pmatrix} -3 & \sqrt{2} & & & 0 \\ \sqrt{2} & -3 & \sqrt{2} & & \\ & \sqrt{2} & -3 & \sqrt{2} & \\ & & \ddots & \ddots & \ddots \\ 0 & & & \sqrt{2} & -3 \end{pmatrix},$$

每一行都非保守, 功夫全废. 等谱变换  
⇒ 非对称. 陷入循环. 2018/3/13

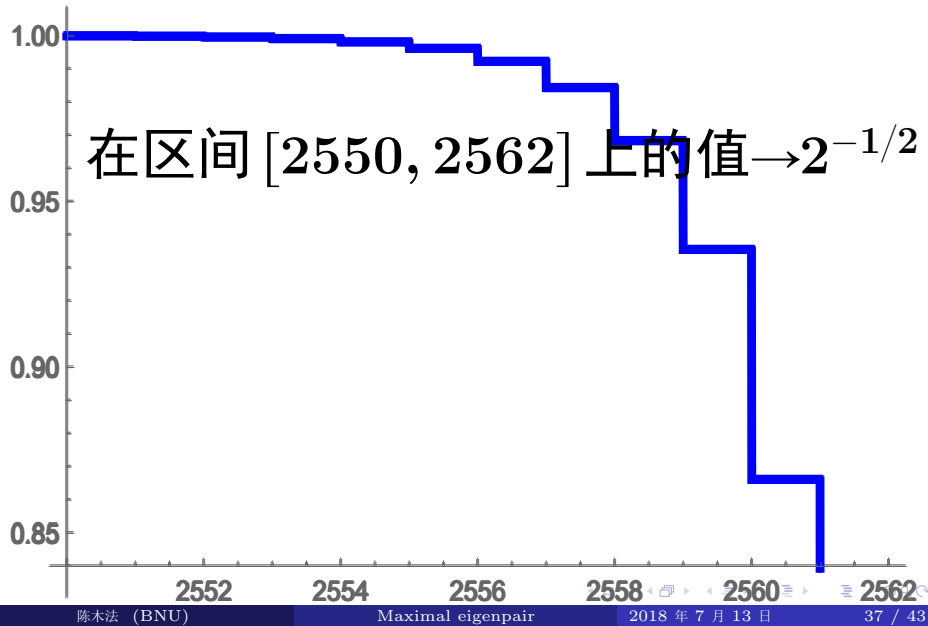
# 使用 $\hat{Q}$ 计算的初向量, 几乎稳定在 1 处



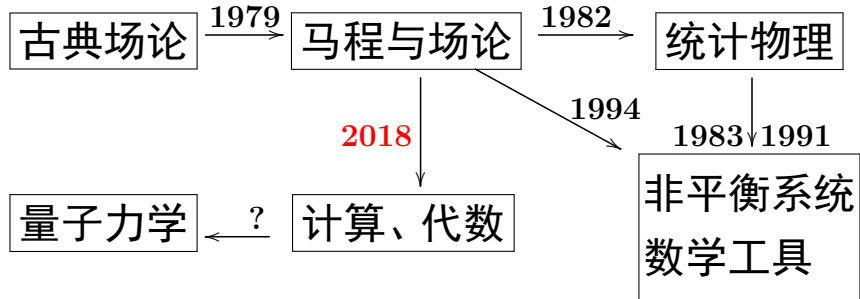
# 使用 $\hat{Q}$ 计算的初向量, 从 0.7 上升到 1



# 使用 $\hat{Q}$ 计算的初向量, 尾部下降到 0.7



# 小结



C. (2005) “Eigenvalues, Inequalities, and Ergodic Theory”. Springer  
本人主页中间的 4 本论文集

交叉：概率+统计物理、数学其它分支

- 非平衡数学基础：反应扩散过程较系统理论
- 相变数学工具：稳定性速度估计(4卷本)

基础：宏伟；随机：细腻；物理：直觉；  
分析：精巧；代数：高雅；计算：大气；  
应用：迷人

**感悟** 科研的 4 种境界，学科交叉渗透

# 华罗庚科普著作选集, 第二部分末文

- 研究要**攻得进去**, 还要**打得出来**.
- 鉴别一个学问家, 要看广度和深度.  
单是深, 可成为不错的专家, 但对整个科学的发展不足道.
- 单是广, 可欺外行, 难有实质性成就.
- 学科之间实际上无不可逾越的鸿沟.
- 做学问需要有绅士风度, 新思想,  
打个洞. 根据地, “**漫**”而非跳.

# For Further Reading I

- 陈. 一维算子两个谱问题的判别准则. 中国科学: 数学 (庆贺侯振挺教授 80 华诞专辑), 2015, 45: 429–438
- 陈. 源自统计物理的数学论题(一). 中国科学: 数学 (庆贺严士键教授 90 华诞专辑), 2019

# For Further Reading II

陈. 源自统计物理的数学论题(二).  
中国科学: 数学 (庆贺王梓坤教授  
90 华诞专辑), 2019

## 科学传承

<http://math0.bnu.edu.cn/~chenmf>  
科普作品 22, 演讲视频 9 (55G)

Ludyk, G. (2018).

*Quantum Mechanics in Matrix Form.*

Undergraduate Lecture Notes in Physics,  
Springer

Ludyk, G. (2018).

*Quantum Mechanics in Matrix Form.*

Undergraduate Lecture Notes in Physics,  
Springer

*The end!*

*Thank you, everybody!*

谢谢大家！